

FeS-Ga₂S₃-Ag₂S KVAZİÜÇLÜ SİSTEMİNİN AgGaS₂-FeS və Ag₉GaS₆-FeS KƏSİKLƏRİ ÜZRƏ TƏDQİQİ

MƏMMƏDOV ŞƏRAFƏT HACİAĞA oğlu

*AMEA akademik M.F.Nağıyev adına Kataliz və Qeyri-üzvi Kimya İnstitutu, Bakı, Azərbaycan, dosent
azxim@mail.ru*

Açar sözlər: sistem, fazalar tarzlığı, Ag₉GaS₆-FeS, diaqram, evtektika, AgGaS₂-FeS, rentgenfaza analizi, FeS-Ga₂S₃-Ag₂S

Hal-hazırda optoelektronika sənayesində maqnit ionu saxlayan lüminsent, lazer və fotohəssas xassəli materialların alınması və tədqiq olunması mühüm əhəmiyyət kasib edir. Bu baxımdan dəmir-monosulfidin (FeS) iştirakı ilə alınan materiallar tədqiqatçıların böyük marağına səbəb olmuşdur [1-3]. Bundan başqa A'^IB^{III}C^{VI}₂ formuluna malik birləşmələr alternativ enerji mənbələrinin alınmasında (günəş batareyalarında), fotodiодların, lüminotorların və s. istehsalında geniş tətbiq olunur. [4-8]

Fe-S sistemi [9] işində tədqiq olunmuşdur. Müəyyən olunmuşdur ki, sistemdə FeS və FeS₂ birləşmələri ilə yanaşı, bir sıra qeyri-stexiométrik tərkibli (Fe_{1-x}S) fazalar əmələ gelir. FeS birləşməsi 1460K temperaturda konkurent əriyir. FeS faza keçidləri müvafiq olaraq 411 və 565K-də aşağı temperaturlu modifikasiyası ilə xarakterizə olunur. Dəmir-monosulfid heksagonallı sıqoniyada kristallaşır və qəfəs parametrləri: a=3,460, c=5,681 Å, faza qrupu P6₃/mmc-D⁴/6h və NiAs quruluş tipindədir. [10,11]

Ag₂S-Ga₂S sistemində AgGaS₂, Ag₉GaS₆ və Ag₂Ga₂₀S₃₁ tərkibli üç birləşmə əmələ gelir. [12] AgGaS₂ və Ag₉GaS₆ birləşməsi konkurent olub, uyğun olaraq 1270 və 1063K [14] temperaturda parçalanmadan əriyir. AgGaS₂ xalkopirit quruluş tipində kristallaşır [13] və elementar qəfəsin parametrləri a=5,74; b=10,26Å, fəza qrupu I42d. Ag₉GaS₆ birləşməsi isə ortorombik sıqoniyada kristallaşır və elementar qəfəsin parametrləri a=10,777, b=7,706, c=7,706 Å. [14]

Təqdim etdiyimiz elmi-tədqiqat işində FeS-Ga₂S₃-Ag₂S kvaziüçlü sisteminin AgGaS₂-FeS və Ag₉GaS₆-FeS kəsikləri üzrə tədqiq olunması və mürəkkəb tərkibli nümunələrin fiziki-kimyəvi xassələrinin əyrinləşdirilmişdir.

Təcrübə hissə. AgGaS₂-FeS və Ag₉GaS₆-FeS sistemləri AgGaS₂, FeS və Ag₉GaS₆ liqüurlarından istifadə edilməklə tədqiq olunmuşdur. Hər iki sistemdən müxtəlif tərkibli 12 nümunə sintez edilmişdir. Sintez maksimal temperaturu uyğun olaraq 1300-1460K və 1100-1460K olmuşdur. Sintez zamana fiziki-kimyəvi qarşılıqlı təsirin tam baş verəsi üçün nümunələr bir neçə dəfə mexaniki olaraq qarışdırılmışdır. Dəmir-monosulfidlə zəngin olan nümunələrin sintezi ikiqat kvars ampulada aparılmışdır. Buna səbəb dəmir-monosulfidin genişlənərək ampulani qırmasıdır. Sintez başa çatdıqdan sonra ampula həmin rejimdə 2 saat saxladıqdan sonra temperatur tədricən 800K-ə kimi soyudularaq 300 saat müddətində homogenlaşdırılmışdır.

Alınmış nümunələr diferensial-termiki (DTA), rentgenfaza(RFA) və mikroqurulus(MQA) analizləri vasitəsilə geniş qatılıq intervalında tədqiq olunmuşdur. [15]

Alınmış nüticələr və onların müzakirəsi. Hər iki sistemdən(AgGaS₂-FeS və Ag₉GaS₆-FeS) müxtəlif tərkibli 12 nümunə sintez edilmişdir (cədvəl.1 və 2). Kompleks fiziki-kimyəvi analizin metodlarından alınmış nüticələrə asasən AgGaS₂-FeS sisteminin faza diaqramı qurulmuşdur (şək.1).

Şəkil 1-dən görünür ki, AgGaS₂-FeS kəsiyi FeS-Ga₂S₃-Ag₂S kvaziüçlü sisteminin kvazibinar kəsiyi olub, evtektik tipdədir. Evtektika nöqtəsinin tərkibi 38 mol% FeS 1050K-dir. Sistemdə likvidus iki kristallaşma əyrisindən ibarət olub, evtektika nöqtəsində birgə kristallaşırlar. DTA nüticələrinə görə, 0-30 mol% AgGaS₂ qatılıq intervalında ərintilərin termogramlarında dörd, digər ərintilərin termogramlarında isə iki termiki effekt (32 mol% FeS ərintisi istisnaya olmaqla) müşahidə

edilmişdir. (cədvəl.1.) 405 və 565K temperaturlarda olan termiki effektlər FeS-in faza keçidlərini ($\alpha(\text{FeS}) \rightarrow \beta(\text{FeS}) \rightarrow \gamma(\text{FeS})$) xarakterizə edir. AgGaS₂-FeS sistemində AgGaS₂ əsasında otaq temperaturunda tərkibi 8 mol% FeS olan həllolma sahəsi aşkar olunmuşdur. FeS-əsasında isə praktiki olaraq həllolma sahəsi aşkar olunmamışdır. AgGaS₂ əsasında həllolma sahəsi temperatur artıraq artraraq evtektika temperaturunda 16 mol% FeS təşkil edir. Rentgenfaza analizinin nəticəsinə görə 0-8 mol% FeS tərkibli ərintilərin difraktoqramması AgGaS₂ birləşməsinin difraksiya xələrinə uyğundur. Buda AgGaS₂ əsasında bərk məhlul sahəsinin alındığını subuta yetirir.

Cədvəl.1.

AgGaS₂-FeS sistemi ərintilərinin tərkibi, DTA, mikroqurulus və sıxlığın təyini

Tərkib, mol% FeS	Termiki effektlər, K	Sıxlıq, g/sm ³	Fazaların tərkibi
100	1420	4.841	Birfazalı
90	405, 565, 1050, 1405	4.852	İkifazalı
80	405, 565, 1050, 1390	4.863	İkifazalı
70	405, 565, 1050, 1355	4.874	İkifazalı
60	1050, 1305	4.885	İkifazalı
50	1050, 1240	4.896	İkifazalı
40	1050, 1100	4.907	İkifazalı
38	1050 (evtektika)	4.909	İkifazalı
30	1050, 1015	4.910	İkifazalı
20	1050, 1180	4.921	İkifazalı
10	1150, 1220	4.932	İkifazalı
0,0	1270	4.943	Birfazalı

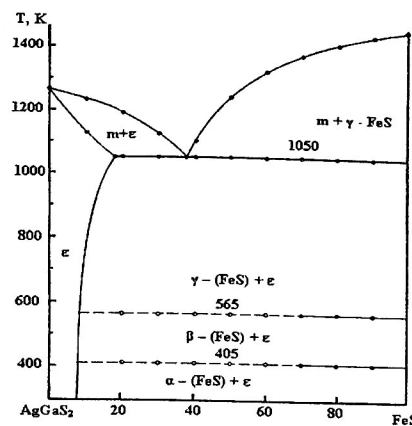
Cədvəl.2.

Ag₉GaS₆-FeS sistemi ərintilərinin tərkibi, DTA, mikroqurulus və sıxlığın təyini

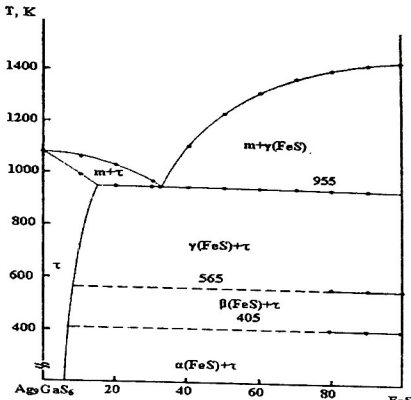
Tərkib, mol% FeS	Termiki effektlər, K	Sıxlıq, g/sm ³	Fazaların tərkibi
100	1420	4.84	Birfazalı
90	405, 565, 955, 1400	4.97	İkifazalı
80	405, 565, 955, 1370	5.10	İkifazalı
70	955, 1330	5.23	İkifazalı
60	955, 1280	5.46	İkifazalı
50	955, 1210	5.61	İkifazalı
40	955, 1100	5.75	İkifazalı
32	955 (evtektika)	5.87	İkifazalı
30	955, 970	6.06	İkifazalı
20	955, 1020	6.24	İkifazalı
10	1000, 1080	6.42	İkifazalı
0,0	1065	6.64	Birfazalı

Ag₉GaS₆-FeS kəsiyinin faza diaqrammı isə şəkil 2-də verilmişdir. Şəkildən aydın görünür ki, sistem kvazibinardır. İlkin komponentlər arasında evtektika tarzlıq yaranmışdır. Sistemin likvidusu ilkin komponentlərin likvidus əyrisindən ibarətdir. İlkin kristallaşma əyrişləri evtektika nöqtəsində (955K 32 mol% FeS) kəsişir.

Rentgenfaza analizinin nəticəsinə görə, 0-6 mol% FeS tərkibli ərintilərin difraktoqramması Ag₉GaS₆ birləşməsinin difraksiya xələrinə uyğundur. Bu da Ag₉GaS₆ əsasında bərk məhlul sahəsinin alındığını subuta yetirir. Sistemin likvidusu ilkin komponentlərin likvidus əyrisindən ibarətdir. $\alpha(\text{FeS}) \rightarrow \beta(\text{FeS}) \rightarrow \gamma(\text{FeS})$ faza keçidləri uyğun olaraq 405 və 565K temperaturlarda baş verir. DTA analizindən əsasən $\alpha(\text{FeS}) \rightarrow \beta(\text{FeS})$ və $\beta(\text{FeS}) \rightarrow \gamma(\text{FeS})$ faza keçidi 80-100 mol% FeS tərkibli ərintilərdə müşahidə olunur. 100-20 mol% Ag₉GaS₆ tərkibli ərintilərin termiki analizi zamanı isə FeS-in faza kecidləri tutulmamışdır.



Şəkil 1. AgGaS₂-FeS sisteminin faza diaqrammı



Şəkil 2. Ag₉GaS₆-FeS sisteminin faza diaqrammı

Rentgenfaza analizinin nəticəsinə görə Ag₉GaS₆ əsasında 0-6 mol% FeS nümunələrinin difraksiya mənşəsi Ag₉GaS₆ birləşməsinin difraksiya mənşəsi ilə oxşarlıq təşkil edir. Buna əsasən Ag₉GaS₆ əsasında bərk məhlul sahəsi əmələ gəldiyi təsdiqini tapır. RFA-nın nəticələrini MQA-də təsdiqləyir. Bundan başqa bərk məhlul sahəsindən olan nümunələrdə (0-6 mol% FeS) mikrobərkliyin qiymətinin tədricən artması bir daha bərk məhlul sahəsinin əmələ gəldiyini təsdiqləyir. Ag₉GaS₆-FeS sistemi ərintilərinin sıxlığının ölçüləmə zamanı aydın olduğu nümunələrin sıxlığı Ag₉GaS₆ və FeS birləşmələrinin sıxlılıqları arasında dəyişir.

Nəticə. 1. FeS-Ga₂S₃-Ag₂S kvaziüçlü sistemi AgGaS₂-FeS və Ag₉GaS₆-FeS kəsikləri üzrə tədqiq olunmuşdur. Müəyyən olunmuşdur ki, hər iki kəsik kvazibinardır, evtektik tipdədir. Evtektika nöqtəsinin tərkibi uyğun olaraq 1050 və 955K temperaturda 38 və 32 mol% FeS tərkibindədir. 2. AgGaS₂-FeS və Ag₉GaS₆-FeS kəsiklərində AgGaS₂ və Ag₉GaS₆ birləşmələri əsasında otaq temperaturunda 8 və 6 mol% FeS tərkibli bərk məhlul sahəsinin əmələ gəldiyini müəyyən edilmişdir.

ƏDƏBİYYAT

1. Nakafsuji S., Tonomura H., Onuma K. et al. Spin disorder and order in quasi-2D triangular Heisenberg antiferromagnets: Comparative study of FeGa₂S₄, Fe₂Ga₂S₅ and NiGa₂S₄ // Phys. Rev. Letters. v. 99. №1-4. 2007, pp.157-203
2. Rushchanskii K.Z., Haeuseler H., Bercha D.M. Band structure calculations on the layered compounds FeGa₂S₄ and NiGa₂S₄ // J.Phys. Chem.Solids. v.63. №1. 2002, pp.2019-2028
3. Myoung., Bo Ra Lim., Jung Tae Kim., Chul Sung. Investigation of magnetic properties on spin-ordering effects of FeGa₂S₄ and FeIn₂S₄ // Journal of Magnetism and Magnetic Materials. v.438. 2017, pp.121-125
4. Zhao Beijun., Zhu Shifu., Li Zhehgbui., Yu Fongliang., Zhu Xinghva., GaO Deyou. Growth of AgGaS₂ single crystal by descending crucible with rotation method and observation of properties // Chinese Soc.Bull. v.146. №3. 2001, pp.2009-2013
5. Chemla D.S., Koracek P.J., Robertson D.S., Smith R.C. Silver tiogallate, a new material with potential for infrared devices // Optics Commun. v.3. №1. 1991, pp.29-31
6. Горюнова Н.А., Сложные алмазоподобные полупроводники. М.: Сов.радио, 1968, 302 с.

7. Olekseyuk J.D., Parasyuk O.V., Halka V.O et al. Phase equilibria in the quasiterinary system Ag₂S-Cds-Ga₂S₃ // J.Alloys and Compounds, v.325. № 1. 2001, pp.167-179
8. Singh N.B., Hopkins. Effect of annealing on optical quality of AgGaS₂ single crystals //J.Mater. Science. v.21. 1986, pp.837-840
9. Skala R.,Cisaroya I., Drobek M. Inversion twinning in troilite// /Mineral., v.91. 2006, p.917
10. Sharma R., Lin J.,Chang Y.A. Termodynamic analysis of the Fe-S system and calculation of the diagram // Metall.Transctions. v.18. №1. 1987, pp.237-244
11. Самсонов Г.В., Дроздова С.В. Сульфиды. М.: Металлургия, 1972, 304 с.
12. Olekseyuk J.D., Parasyuk O.V., Haika V.O et al. Phase equilibria in the quasiterinary system Ag₂S-Cds-Ga₂S₃ // J.Alloys and Compounds, v.325. № 1. 2001, pp.167-179
13. Горюнова Н.А., Сложные алмазоподобные полупроводники. М.: Сов.радио, 1968, 302 с.
14. Brand G., Kramer V. The Ag₂S-Ga₂S₃ system // Mater.Res.Bull. №11. 1976, pp.1381-1388
15. Qəhrəmanova G.H. As₂Se₃-Tm₂Se₃ kəsiyi və TmAs₂Se₃ birləşməsinin homogenlik sahəsinin tədqiqi // Sumqayıt Dövlət Universiteti. Elmi Xəbərlər. Təbiət və texniki elmlər bölməsi. c.20. №3. Sumqayıt: SDU, 2020, s.32-37; <https://www.elibrary.ru/item.asp?id=44219992>

РЕЗЮМЕ

ИССЛЕДОВАНИЕ КВАЗИТРОЙНОЙ СИСТЕМЫ FeS-Ga₂S₃-Ag₂S ПО РАЗРЕЗАМ AgGaS₂-FeS И Ag₉GaS₆-FeS

Мамедов Ш.Г.

Ключевые слова: система, фазовый баланс, Ag₉GaS₆-FeS, диаграмма, эвтектика, AgGaS₂-FeS, рентгенфазовый анализ, FeS-Ga₂S₃-Ag₂S

Комплексными методами физико-химического анализа (ДТА, РФА, МСА) изучены фазовые равновесия по разрезам AgGaS₂-FeS и Ag₉GaS₆-FeS квазитройной системы FeS-Ga₂S₃-Ag₂S. Построены их диаграммы состояния. Установлено, что указанные разрезы являются квазибинарными и относятся к эвтектическому типу. Координаты эвтектических точек, в системах AgGaS₂-FeS, Ag₉GaS₆-FeS соответствуют 38 мол%, 1050K и 32 мол% FeS, 955K соответственно. Растворимость на основе тройных сульфидов (AgGaS₂ и Ag₉GaS₆) составляет 8 мол% и 6 мол% FeS, а на основе FeS область твердых растворов практически не обнаружена.

SUMMARY

RESEARCH OF THE QUASITROLE SYSTEM FeS-Ga₂S₃-Ag₂S BY SECTIONS OF AgGaS₂-FeS AND Ag₉GaS₆-FeS

Mammadov Sh.H.

Key words: system, phase equilibrium Ag₉GaS₆-FeS, diagram, eutectics, AgGaS₂-FeS, X-ray analysis, FeS-Ga₂S₃-Ag₂S

Using complex methods of physicochemical analysis (DTA, XRD, MSA), phase equilibria were studied from the AgGaS₂-FeS and Ag₉GaS₆-FeS sections of the quasi-three FeS-Ga₂S₃-Ag₂S system. Their state diagrams are built. It was established that these sections are quasibinary and belong to the eutectic type. The coordinates of the eutectic points in the AgGaS₂-FeS, Ag₉GaS₆-FeS systems correspond to 38 mol%, 1050K and 32 mol% FeS, 955K, respectively. The solubility based on ternary sulfides (AgGaS₂ and Ag₉GaS₆) is 8 mol% and 6 mol% FeS, and on the basis of FeS, the region of solid solutions was practically not detected.

Daxiliolma tarixi:	İllkin variant	12.03.2020
	Son variant	18.04.2020